

УДК 535.343.2

©1994

**МАГНИТООПТИЧЕСКАЯ АКТИВНОСТЬ  
РЕДКОЗЕМЕЛЬНЫХ ИОНОВ  
В ГРАНАТАХ ПРИ НИЗКОЙ ТЕМПЕРАТУРЕ**

*Н.Ф. Ведерников, Г.П. Сигал, Б.Ю. Соколов*

Исследованы полевая и температурная зависимости эффекта Фарадея в гранатах  $\text{Nd}_3\text{Ga}_5\text{O}_{12}$ ,  $\text{Er}_3\text{Al}_5\text{O}_{12}$  и  $\text{Yb}_3\text{Al}_5\text{O}_{12}$ . Измерения фарадеевского вращения проводились вдоль разных кристаллографических направлений на лазерной длине волны  $0.63 \mu$  в магнитном поле до  $17 \text{ kOe}$  в температурном интервале  $4.2\text{--}60 \text{ K}$ . Из сравнения полученных результатов с данными магнитных измерений показано, что в исследованном интервале температур и магнитных полей эффект Фарадея в гранатах  $\text{Nd}_3\text{Ga}_5\text{O}_{12}$ ,  $\text{Er}_3\text{Al}_5\text{O}_{12}$  и  $\text{Yb}_3\text{Al}_5\text{O}_{12}$  описывается теорией, основывающейся на приближении Джада-Офельта.

Известно, что в видимой области спектра магнитооптическая активность (МОА) соединений, содержащих трехвалентные редкоземельные (РЗ) ионы, определяется главным образом разрешенными электродипольными переходами в РЗ ионах типа  $4f^n \rightarrow 4f^{n-1}5d$  с энергиями  $10^4\text{--}10^5 \text{ cm}^{-1}$ . Традиционно считается, что при описании эффекта Фарадея на длинноволновом крыле этих переходов можно пренебречь расщеплением уровней  $4f^{n-1}5d$  конфигурации РЗ иона (приближение Джада-Офельта). В рамках этого приближения эффект Фарадея для РЗ ионов, у которых в основном состоянии  $S, L, J \neq 0$ , может быть представлен в виде суммы вкладов трех механизмов МОА — «диамагнитного», «смешивания» и «парамагнитного» (так называемые  $A, B, C$ -члены эффекта Фарадея соответственно [1]). Первые два вклада в эффект Фарадея РЗ ионов обычно значительно меньше «парамагнитного» и при температуре  $T < 100 \text{ K}$  ими можно пренебречь [2,3]. «Парамагнитный» вклад пропорционален намагниченности  $M$ , поэтому при низких температурах полевая, ориентационная и температурные независимости фарадеевского вращения в РЗ соединениях полностью определяются соответствующими зависимостями  $M$ .

Альтернативный приближению Джада-Офельта подход обсуждается в [4]: сильное расщепление кристаллическим полем возбужденной  $4f^{n-1}5d$  конфигурации РЗ иона приводит к появлению значительного по величине кристаллополевого «диамагнитного» вклада в эффект Фарадея. Проведенное в [4] теоретическое рассмотрение показало, что кристаллополевой вклад в общем случае анизотропен для разных кристаллографических направлений и изменяется с температурой по закону  $\sim 1/T^2$ , что делает его наиболее существенным при низких температурах. Здесь укажем, что сильная анизотропия эффекта Фарадея

и различие в поведении температурных зависимостей фарадеевского вращения и магнитной восприимчивости кристалла  $\text{Yb}_3\text{Ga}_5\text{O}_{12}$  наблюдалось для температур  $T < 100$  К в [5].

За исключением работы [5], нам не известно о каких-либо систематических экспериментальных исследованиях МОА парамагнитных РЗ соединений, выполненных для температур ниже азотной. Имеющиеся же в литературе результаты по эффекту Фарадея в РЗ ферритах-гранатах трудно интерпретировать однозначно из-за сложной магнитной структуры этих ферримагнетиков [2]. Поэтому вопрос об актуальности кристаллополевого вклада в эффект Фарадея РЗ соединений в настоящее время остается открытым.

С целью выяснения природы МОА РЗ ионов были проведены исследования фарадеевского вращения в относительно простых, с точки зрения их магнитных и оптических свойств, кристаллах-гранатах  $\text{Nd}_3\text{Ga}_5\text{O}_{12}$ (NdGG),  $\text{Er}_3\text{Al}_5\text{O}_{12}$ (ErAG) и  $\text{Yb}_3\text{Al}_5\text{O}_{12}$ (YbAG), результаты которых представлены в данной работе.

## 1. Образцы и методика измерений

Исследования эффекта Фарадея проводились на монокристаллических образцах гранатов NdGG, ErAG и YbAG, выращенных методом спонтанной кристаллизации из раствора в расплаве. Образцы представляли собой пластинки размерами  $\sim 6 \times 5 \times 1$  mm, плоскости которых были параллельны кристаллографическим плоскостям (111), (110), (100) для NdGG, ErAG и (110), (100) для YbAG. Ошибка в ориентации образцов относительно заданного кристаллографического направления составляла  $\sim 1.5^\circ$ .

Измерения эффекта Фарадея проводились на длине волны  $0.63 \mu\text{m}$  излучения гелий-неонового лазера в постоянном магнитном поле напряженностью до 17 kOe в обычной продольной геометрии (магнитное поле ориентировано вдоль направления распространения света) по методике с использованием непрерывно вращающегося анализатора с чувствительностью по углу поворота плоскости поляризации света  $\sim 0.02^\circ$  [6].

Образец размещался в проточном оптическом криостате и охлаждался потоком газообразного гелия заданной температуры в интервале 4.2–60 К.

Погрешность измерений эффекта Фарадея определялась главным образом ошибкой в измерениях температуры и во всех экспериментах не превышала 5%.

## 2. Экспериментальные результаты

Поскольку ниже результаты исследований эффекта Фарадея в NdGG, ErAG и YbAG будут сравниваться с данными магнитных измерений, опубликованных ранее в [7,8], в начале этого раздела кратко остановимся на основных магнитных свойствах этих гранатов.

Гранаты NdGG, ErAG и YbAG парамагнитны вплоть до температур  $T \lesssim 0.5$  K [9]. Магнитный момент NdGG имеет слабо выраженную анизотропию с осью легкого намагничивания, параллельной кристаллографическому направлению [111]. Намагниченности ErAG и YbAG

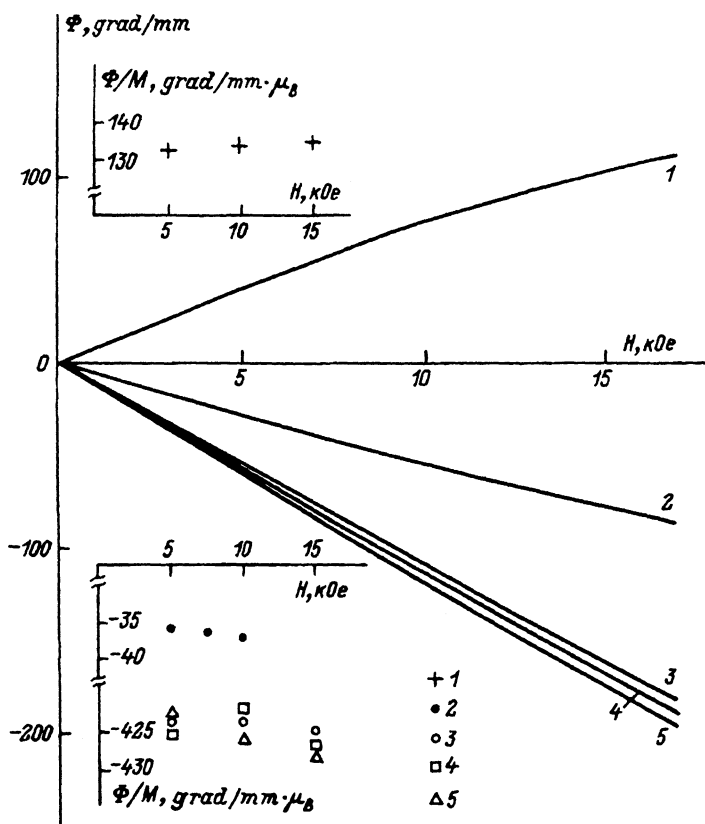


Рис. 1. Полевые зависимости эффекта Фарадея исследованных гранатов при  $T = 4.2$  К.

YbAG,  $H \parallel [100]$  (1); ErAG,  $H \parallel [100]$  (2); NdGG,  $H \parallel [100]$  (3),  $H \parallel [110]$  (4),  $H \parallel [111]$  (5). На вставках — зависимости  $\Phi/M$  от  $H$  при 4.2 К. YbAG,  $H \parallel [100]$  (1); ErAG,  $H \parallel [100]$  (2); NdGG,  $H \parallel [100]$  (3),  $H \parallel [110]$  (4),  $H \parallel [111]$  (5).

практически изотропны. При температуре  $T = 4.2$  К намагниченности NdGG, ErAG и YbAG насыщаются в магнитном поле  $H \approx 60$  кОе и достигают значений 1.24, 4.55 и 1.78  $\mu_B/\text{ион}$  соответственно [7,8]. В парамагнитной области температур магнитная восприимчивость этих гранатов уменьшается с ростом температуры приблизительно по закону Кюри–Вейса [3].

Как показали измерения, полевые зависимости фарадеевского вращения исследованных гранатов коррелируют с поведением их намагниченностей. Эффект Фарадея в NdGG имеет слабую анизотропию с наибольшим значением вдоль направления [111]. В ErAG и YbAG фарадеевское вращение в пределах точности эксперимента не зависит от ориентации магнитного поля относительно кристаллографических осей.

Зависимости эффекта Фарадея NdGG, ErAG и YbAG от величины внешнего магнитного поля при температуре  $T = 4.2$  К показаны на рис. 1. Температурные зависимости эффекта Фарадея этих гранатов, полученные в магнитном поле  $H = 17$  кОе, приведены на рис. 2.

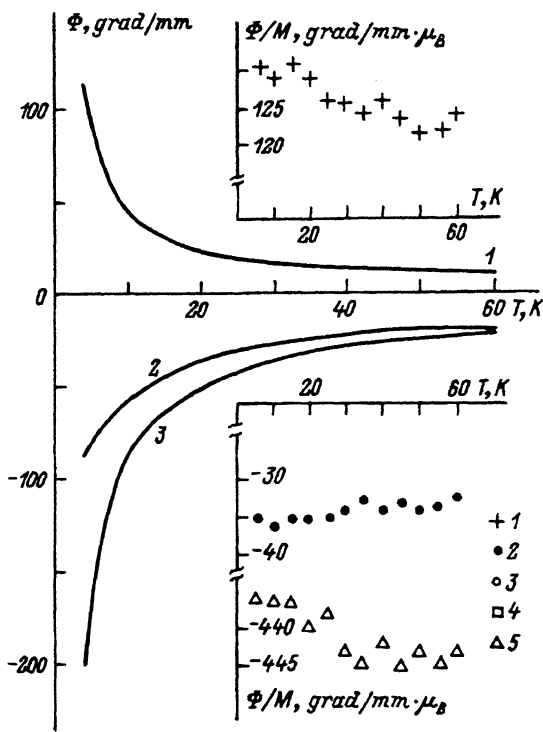


Рис. 2. Температурные зависимости фарадеевского вращения исследованных гранатов при  $H = 17$  кОе.  
YbAG,  $H \parallel [100]$  (1); ErAG,  $H \parallel [100]$  (2); NdGG,  $H \parallel [111]$  (3). На вставках — зависимости  $\phi/M$  от  $T$  при  $H = 17$  кОе гранатов YbAG, ErAG и NdGG (обозначения те же, что и на рис. 1).

Строго говоря, в гранатах как в кубических кристаллах эффект Фарадея в чистом виде (т.е. явление магнитного кругового двупреломления) может наблюдаться лишь вдоль направлений, эквивалентных [100] и [111]. При произвольном направлении вектора  $M$  относительно кристаллографических осей происходит эллиптическое двупреломление, связанное с появлением вклада, квадратично зависящего от намагниченности [10]. Однако, как следует из наших измерений, для гранатов NdGG, ErAG и YbAG в исследованном интервале магнитных полей и температур вклад  $\sim M^2$ , по-видимому, незначителен, поскольку ход полевых и температурных зависимостей их фарадеевского вращения, наблюдавшихся при  $H$ , параллельном оси [110], аналогичен соответствующим зависимостям, полученным для ориентации поля вдоль направлений [100] и [111] (с оговоркой, что в NdGG величина эффекта Фарадея различается для разных направлений в кристалле).

Для сопоставления полученных результатов с данными магнитных измерений из [7,8] на вставках к рис. 1,2 представлены полевые и температурные зависимости отношения угла фарадеевского вращения  $\Phi$  исследованных гранатов к их намагниченности. При расчете приведенных на графиках значений  $\Phi/M$  учитывался вклад в  $\Phi$  от вращения диамагнитной матрицы граната, который считался равным эффекту

Гранат	$C_T$	$C_H$	$C[3]$	$D_T$	$D_H$	$D[3]$
grad / mm · $\mu_B$				grad / mm · kOe		
NdGG	$430 \pm 30$	$415 \pm 32$	$470 \pm 60$	$0.07 \pm 0.02$	$0.3 \pm 0.1$	$-0.15 \pm 0.005$
ErGG	$42 \pm 4$	$48 \pm 6$	$35 \pm 12$	$-0.3 \pm 0.1$	$-2 \pm 1$	$-3 \pm 3$
YbGG	$-134 \pm 10$	$-132 \pm 13$	$-98 \pm 8$	$0.1 \pm 0.1$	$0.7 \pm 0.3$	$0 \pm 1.5$

Фарадея в YGG для NdGG и YAG для ErAG и YbAG [11], а также вводилась поправка на размагничивающее поле  $NM$  с размагничивающим фактором  $N = 10$ .<sup>1</sup>

Видно, что для исследованных гранатов полученные величины отношений  $\Phi/M$  ( $T, H$ ) практически не зависят от магнитного поля и температуры, т.е. в фарадеевском вращении этих гранатов не содержится сколько-нибудь существенного вклада, имеющего отличную от намагниченности полевую, ориентационную или температурную зависимость.

### 3. Обсуждение результатов

Проведенные измерения фарадеевского вращения в NdGG, ErAG и YbAG позволяют заключить, что в соответствии с результатами работ [2,3] определяющий вклад в формирование эффекта Фарадея этих гранатов при низких температурах вносит «парамагнитный» механизм МОА, обусловленный разной термической заселенностью уровней основного состояния РЗ иона. Следуя [2], запишем выражение для эффекта Фарадея в виде, удобном для анализа его полевой и температурной зависимостей

$$\Phi = CM + DH. \quad (1)$$

Здесь первое слагаемое описывает «парамагнитный» вклад в эффект Фарадея, а второе слагаемое — вклад «диамагнитного» механизма и механизма «смешивания». Коэффициенты  $C$  и  $D$  в первом приближении можно считать не зависящими от температуры и магнитного поля.

Величины коэффициентов  $C$  и  $D$ , полученные из расчета по формуле (1) с использованием результатов измерений полевых ( $C_H, D_H$ ) и температурных ( $C_T, D_T$ ) зависимостей эффекта Фарадея и намагниченности исследованных гранатов, представлены в таблице. Там же для сравнения приведены значения  $C$  и  $D$ , определенные из результатов измерений в температурном интервале 80–300 К [3]. Обращает на себя внимание тот факт, что значения коэффициентов  $C_H$  и  $D_T$  в пределах точности эксперимента для всех исследованных гранатов совпадают между собой и согласуются с данными из [3]. В то же время для всех гранатов наблюдается значительное систематическое завышение значений  $D_H$  по сравнению с величинами  $D_T$ .

<sup>1</sup> Измерения намагниченности в [7,8] были проведены на образцах сферической формы с  $N = 4\pi/3$ .

Существенное различие (превышающее ошибку измерений) в величинах коэффициентов  $D$ , определенных из результатов разных экспериментов, можно связать с тем, что условие температурной независимости этого коэффициента является строгим только в области достаточно высоких температур, где термически заселены все уровни основного мультиплета РЗ иона [2]. При температурах, близких к гелиевым, для более корректного сопоставления выражения (1) с экспериментом необходимо учитывать температурную зависимость  $D$ . В целом же можно заключить, что теория эффекта Фарадея, основывающаяся на приближении Джада-Офельта, непротиворечиво описывает поведение фарадеевского вращения в РЗ гранатах при низких температурах. Что же касается кристаллополевого «диамагнитного» механизма МОА, обсуждавшегося в [4], то, вероятно, его роль в формировании эффекта Фарадея РЗ соединений более существенна в спектральной области вблизи резонансов с оптическими переходами, определяющими наблюдаемое магнитооптическое вращение.

В заключение считаем своим приятным долгом поблагодарить Б.В.Милля за предоставленные кристаллы гранатов.

### Список литературы

- [1] Buckingham A.D., Stephans P.J. // Ann. Rev. Phys. Chem. 1966. V. 17. P. 399–427.
- [2] Валиев У.В., Звездин А.К., Кринчик Г.С., Левитин Р.З., Мукимов К.М., Попов А.И. // ЖЭТФ. 1983. Т. 85. № 1(7). С.311–327.
- [3] Mukimov K.M., Sokolov B.Yu., Valiev U.V. // Phys. Stat. Sol. (a). 1990. V. 119. P. 307–315.
- [4] Москвин А.С., Плещеев В.М. // Опт. и спектр. 1990. Т. 69. № 3. С. 592–596.
- [5] Guillot M., H.Le Gall, Ostorero J., Artiniun M., Marchand A. // J. Appl. Phys. 1987. V. 8. P. 3265–3267.
- [6] Гольдштейн С.Ш., Мукимов К.М., Сигал Г.П., Соколов Б.Ю. // ПТЭ. 1992. № 6. С. 113–117.
- [7] Ведерников Н.Ф. // Автореф. канд. дис. М., 1988.
- [8] Kolmakova N.P., Levitin R.Z., Popov A.I., Vedernikov N.F., Zvezdin A.K. // Phys. Rev. B. 1990. V. 41. N 10. P. 6170–6178.
- [9] Белов К.П., Соколов В.И. // УФН. 1977. Т. 121. № 2. С. 285–317.
- [10] Лисовский Ф.В. // Опт. и спектр. 1973. Т. 34. № 5. С. 947–953.
- [11] Валиев У.В., Клочков А.А., Попов А.И., Соколов Б.Ю. // Опт. и спектр. 1989. Т. 66. № 3. С. 613–617.

Ташкентский государственный  
университет

Поступило в Редакцию  
5 октября 1993 г.